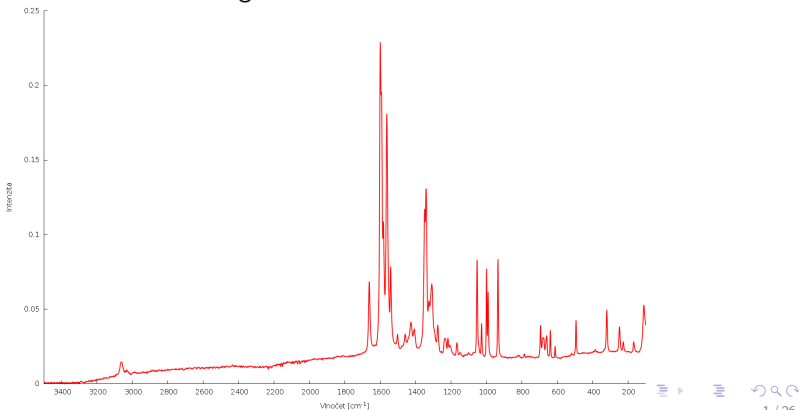


Vyhodnocování IR a RA spekter

Zdeněk Moravec, Ústav chemie, PŘF MU
hugo@chemi.muni.cz



Osnova

Kvalitativní analýza

- Rozdělení oblastí spekter

- Důležité oblasti v MIR spektru

- Charakteristické frekvence

 - Organické sloučeniny

 - Aromatické sloučeniny

 - Halogenované sloučeniny

 - Anorganické sloučeniny

- Základní pravidla pro interpretaci vibračních spekter

- Vodíkové vazby

- Izotopická substituce

- NIR

 - Charakteristické frekvence v NIR

- Ramanova spektroskopie

 - Studium struktury grafenu

- Databáze spekter

Kvantitativní analýza

- Stanovení koncentrace kofeinu v roztoku

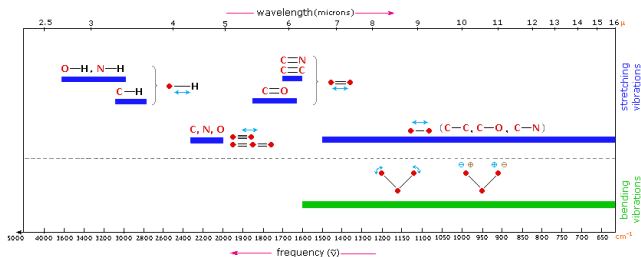
Literatura a odkazy

- ▶ NIR ($0,7 - 2,5 \mu\text{m}$; $14\,000 - 4\,000 \text{ cm}^{-1}$) - infračervená spektroskopie v blízké oblasti – převážně overtony a kombinační vibrace. Intenzita pásů je nižší než v MIR oblasti a pásy se často překrývají.
- ▶ **MIR ($2,5 - 25 \mu\text{m}$; $4\,000 - 400 \text{ cm}^{-1}$) - infračervená spektroskopie ve střední oblasti** – základní vibrace molekul.
- ▶ FIR ($25 - 1000 \mu\text{m}$; $400 - 10 \text{ cm}^{-1}$) - infračervená spektroskopie ve vzdálené oblasti – vibrace vazeb kov-halogen, deformační vibrace skeletu molekul.

Kvalitativní analýza

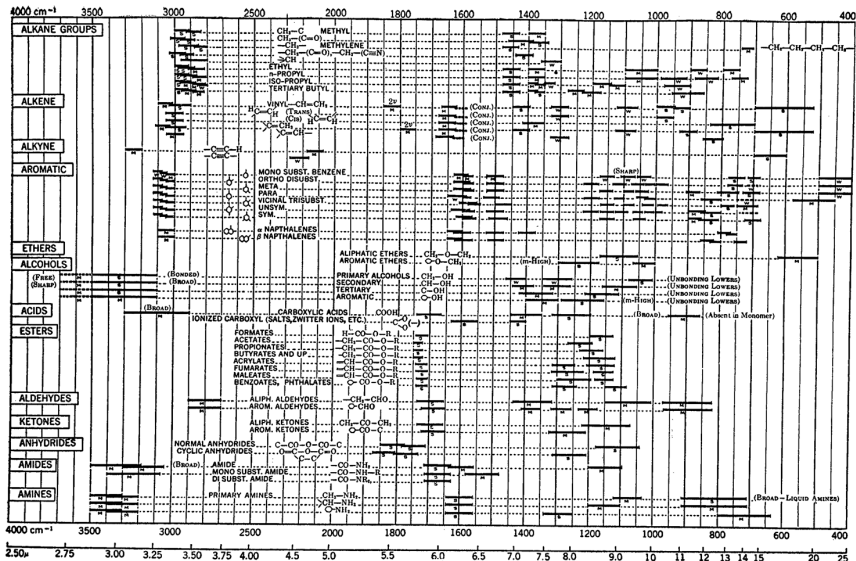
Důležité oblasti v MIR spektru

- ▶ 4000-2500 cm^{-1} oblast valenčních vibrací X-H
- ▶ 2500-2000 cm^{-1} oblast trojných vazeb
- ▶ 2000-1500 cm^{-1} oblast dvojných vazeb
- ▶ 1500-600 cm^{-1} oblast otisku prstu (fingerprint)



Kvalitativní analýza

Charakteristické frekvence



Kvalitativní analýza

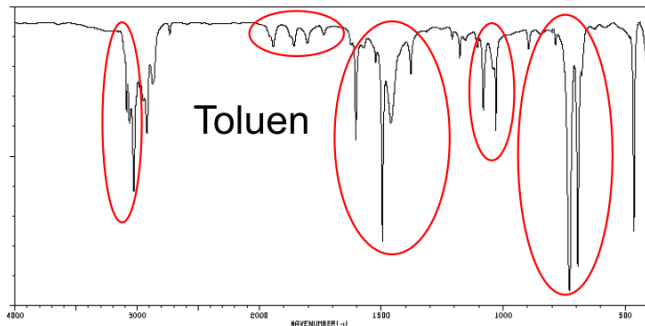
Charakteristické frekvence

| Sloučenina | Skupina | Vlnočet [cm^{-1}] |
|----------------------|--------------|------------------------------|
| Alkany | C–H | 2850-3000 |
| | C–C | 800-1000 |
| Aromáty | C–H | 3000-3100 |
| | C=C | 1450-1600 |
| Alkeny | C–H | 3080-3140 |
| | C=C | 1630-1670 |
| Alkyny | C–H | 3300-3320 |
| | C \equiv C | 2100-2140 |
| Alkoholy | O–H | 3300-3600 |
| | C–O | 1050-1200 |
| Alkyny | C–H | 3300-3320 |
| | C \equiv C | 2100-2140 |
| Aldehydy | C=O | 1720-1740 |
| | C–H | 2700-2900 |
| Karboxylové kyseliny | C=O | 1700-1725 |
| | O–H | 2500-3300 |
| | C–O | 1100-1300 |

Kvalitativní analýza

Charakteristické frekvence

| Vibrace | Vlnočet [cm^{-1}] |
|----------------------------------|------------------------------|
| C–H valenční | 3100-3000 |
| Kombinační, overtóny | 2000-1700 |
| C=C | 1650-1430 |
| C–H deformační v rovině kruhu | 1275-1000 |
| C–H deformační mimo rovinu kruhu | 900-690 |



Kvalitativní analýza

Charakteristické frekvence

- ▶ Se vzrůstající hmotností halogenu klesá hodnota vlnočtu vazby C–X.
- ▶ V tabulce jsou shrnuty vibrace vazeb C–X u alifatických uhlovodíků.

| Vazba | Vlnočet [cm^{-1}] |
|-------|------------------------------|
| C–F | 1150-1000 |
| C–Cl | 800-700 |
| C–Br | 700-600 |
| C–I | 600-500 |

Kvalitativní analýza

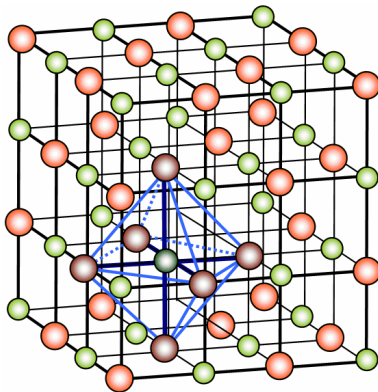
Charakteristické frekvence

| Ion | Vlnočet [cm^{-1}] |
|---------------------|------------------------------|
| CO_3^{2-} | 1450-1410 880-800 |
| SO_4^{2-} | 1130-1080 680-610 |
| NO_3^- | 1410-1340 860-800 |
| PO_4^{3-} | 1100-950 |
| SiO_4^{2-} | 1100-900 |
| NH_4^+ | 3335-3030 1485-1390 |
| MnO_4^- | 920-890 850-840 |
| M-H | 2250-1700 800-600 |
| M-X | 750-100 |
| M=O | 1010-850 |
| M=N | 1020-875 |

Kvalitativní analýza

Charakteristické frekvence

- ▶ Spektra anorganických sloučenin zpravidla obsahují méně pásů, ty jsou širší a nalézáme je i na nižších vlnočtech, často až ve FIR oblasti.
- ▶ Látky obsahující pouze iontovou vazbu, např. NaCl, neposkytují IR spektrum v MIR oblasti. Pozorovatelné jsou pouze mřížkové vibrace.
- ▶ Stupeň hydratace sloučeniny ovlivňuje vzhled spektra.



Kvalitativní analýza

Základní pravidla pro interpretaci vibračních spekter

1. Nejprve se podívejte na oblast vyšších vlnočtů ($>1500\text{ cm}^{-1}$) a hledejte výrazné pásy.
2. Pro každý významný pás si připravte seznam možných přiřazení.
3. Oblast nižších vlnočtů použijte pro potvrzení nebo vyvrácení přítomnosti funkčních skupin.
4. Nesnažte se přiřadit každý pás ve spektru.
5. Pokud je to možné, hledejte pro každou funkční skupinu více pásů, např. aldehydy by měly mít pás okolo 1730 cm^{-1} a zároveň i pás v oblasti $2900\text{--}2700\text{ cm}^{-1}$. Pokud některý z pásů chybí, skupina pravděpodobně ve struktuře přítomna není.
6. Intenzity pásů berte v úvahu pouze orientačně.
7. V závislosti na technice měření a stavu vzorku (kapalný, pevný, roztok) může docházet k malým změnám v poloze pásů.
8. Pozor na pásy náležející rozpouštědлу.

Kvalitativní analýza

Vodíkové vazby

- ▶ Přítomnost intra- i intermolekulárních vodíkových vazeb ovlivňuje sílu vazby a tím i polohu odpovídajícího pásu ve spektru.
- ▶ Tímto způsobem může rozpouštědlo ovlivnit vzhled spektra, např. voda, diethylether, chloroform, atd.
- ▶ Se vzrůstající teplotou dochází k oslabování vodíkových vazeb a tím k posunu odpovídajících pásů k vyšším hodnotám vlnočtu.

Tabulka: Závislost vlnočtu vibrace OH skupiny fenolu na koncentraci dioxanu v CCl_4 ¹

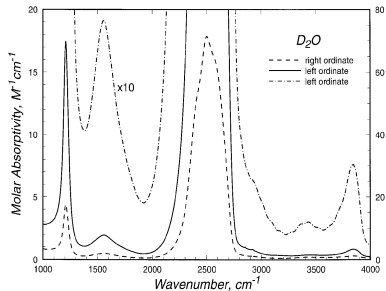
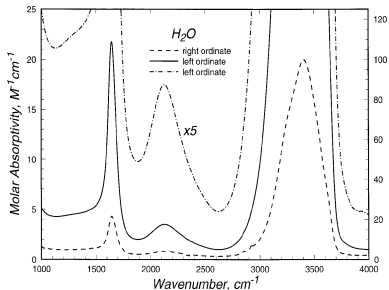
| Konc. dioxanu [%] | ν_{OH} | ν_{OH} fenol-dioxan | $\Delta\nu$ |
|-------------------|------------|-------------------------|-------------|
| 0,0 | 3611 | - | - |
| 2,3 | 3612 | 3377 | 235 |
| 22,1 | 3610 | 3365 | 245 |
| 72,5 | - | 3347 | 263 |
| 100,0 | - | 3338 | 272 |

¹J. Am. Chem. Soc., **1963**, 85 (4), 371–380

Kvalitativní analýza

Izotopická substituce

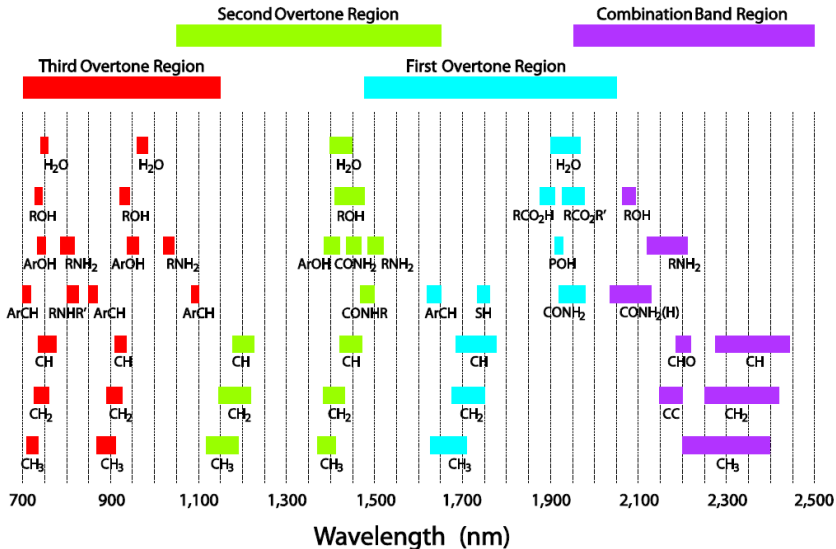
- ▶ Izotopická substituce usnadňuje interpretaci vibračních spekter
- ▶ Nedochozí ke změně geometrie molekuly, ale změní se hmotnost atomů a tím i poloha absorpčních pásů
- ▶ $\nu_e = \frac{1}{2\pi} \sqrt{\frac{k}{\mu}}$
- ▶ $\mu = \frac{m_1 m_2}{m_1 + m_2}$
- ▶ Těžší izotop způsobuje posun pásů k nižším vlničtům



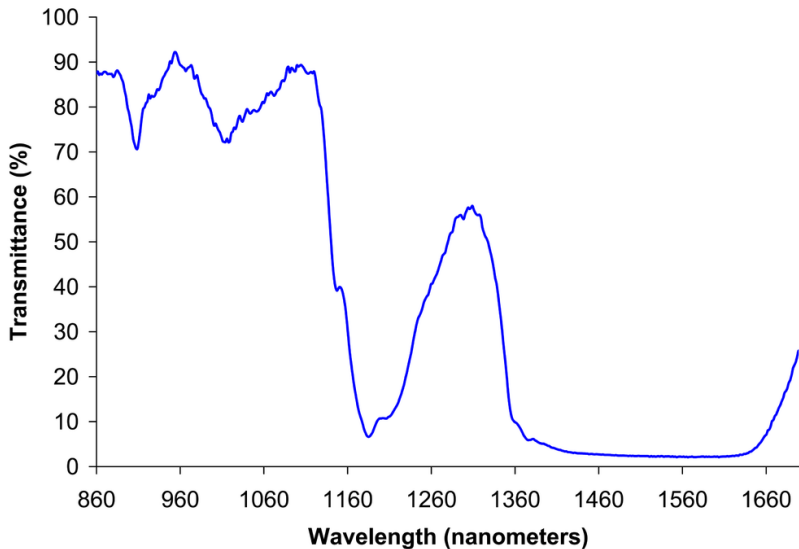
- ▶ Oblast 700-2500 nm, tj. $14\ 000\text{--}4\ 000\ \text{cm}^{-1}$.
- ▶ V této oblasti jsou převážně kombinační vibrace a overtóny (vyšší harmonické). Ty poskytují málo intenzivní, široké pásy, které se často překrývají.
- ▶ Výhodou je jednodušší instrumentace (lze využít skleněnou nebo křemennou optiku), citlivější detektory.
- ▶ Voda v této oblasti absorbuje relativně málo, takže ji lze použít jako rozpouštědlo.
- ▶ Využití v lékařství a zdravotní diagnostice, potravinářském a jiném průmyslu, astronomii, . . .
- ▶ Jako měřicí techniky se využívají:
 - ▶ transmisní technika
 - ▶ difuzně-reflexní technika
 - ▶ ATR

Kvalitativní analýza

NIR



► NIR spektrum kapalného ethanolu

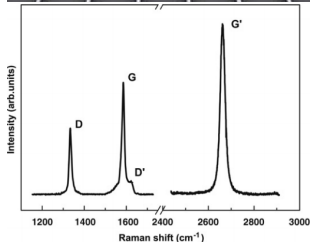
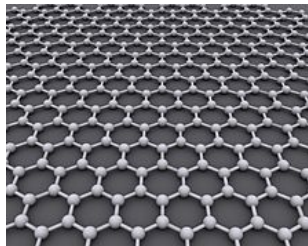


- ▶ Komplementární metoda k IR spektroskopii
- ▶ Principem je nepružný rozptyl LASERového záření na vzorku
- ▶ Vhodnější pro nepolární sloučeniny
- ▶ Lze použít vodu jako rozpouštědlo
- ▶ Zpravidla užší pásy než v IR spektrech
- ▶ Jednoduchá příprava vzorku
- ▶ Měření může komplikovat fluorescence vzorku
- ▶ Dražší hardware

Kvalitativní analýza

Ramanova spektroskopie

- ▶ Pomocí Ramanovy spektroskopie lze studovat kvalitu grafenu a určit počet vrstev vzorku
- ▶ Pás D (1350 cm^{-1}) odpovídá poruchám ve struktuře grafenu.
- ▶ Pás G (1583 cm^{-1}) odpovídá valenčním vibračním vazeb C-C, najdeme ve všech systémech s sp^2 uhlíky.
- ▶ V případě nečistot nebo výskytu náboje na povrchu grafenu, najdeme v blízkosti pásu G i méně intenzivní pás D' (1620 cm^{-1}).
- ▶ Pás G' v oblasti $2500\text{--}2800\text{ cm}^{-1}$ se označuje jako 2D-pás, nalezneme ho u všech systému s sp^2 uhlíky.



▶ sdb.sriodb.aist.go.jp/sdb/s/cgi-bin/cre_index.cgi

Spectral Database for Organic Compounds SDBS [Japanese](#) [Introduction](#) [Disclaimer](#) [HELP](#) [Contact](#) [What's New](#) [RIO-DB](#) [LINK](#) [AIST](#)

SDBS Compounds and Spectral Search

Compound Name:

Molecular Formula:

C, H, then the other elements are alphabetical order, "%," for the wild card

Molecular Weight: to

Numbers between left and right columns
Up to the first place of a decimal point

CAS Registry No.:

*,** for the wild card.

SDBS No.:

*,** for the wild card.

Atoms:

| | | | |
|---------------|----------------------|----|----------------------|
| C(Carbon) | <input type="text"/> | to | <input type="text"/> |
| H(Hydrogen) | <input type="text"/> | to | <input type="text"/> |
| N(Nitrogen) | <input type="text"/> | to | <input type="text"/> |
| O(Oxygen) | <input type="text"/> | to | <input type="text"/> |
| F(Fluorine) | <input type="text"/> | to | <input type="text"/> |
| Cl(Chlorine) | <input type="text"/> | to | <input type="text"/> |
| Br(Bromine) | <input type="text"/> | to | <input type="text"/> |
| I(Iodine) | <input type="text"/> | to | <input type="text"/> |
| S(Sulfur) | <input type="text"/> | to | <input type="text"/> |
| P(Phosphorus) | <input type="text"/> | to | <input type="text"/> |
| Si(Silicon) | <input type="text"/> | to | <input type="text"/> |

Numbers between left and right columns.

Spectrum:
Check the spectra of your interest.
 MS IR
 ¹³C NMR Raman
 ¹H NMR ESR

IR Peaks(cm⁻¹): Allowance

, or space is the separator for multiple peaks.
Use "-", to set a range.. eg. 550-750,1650
3000-
Transmittance < %

¹³C NMR Shift(ppm): Allowance

, is the separator for multiple shifts, eg. 129.3,18.4,...

No shift regions:

Range defined by two numbers separated by a space, eg. 110 78,...

¹H NMR Shift(ppm): Allowance

No shift regions:

MS Peaks and intensities:

Mass and its intensity are a set of data separated by a space, eg. 110 22,...

Hit: Sort by:

(c) National Institute of Advanced Industrial Science and Technology (AIST)

▶ sdbs.riodb.aist.go.jp/sdbs/cgi-bin/cre_index.cgi

Spectral Database for Organic Compounds SDBS

[Japanese](#)
[Introduction](#)
[Disclaimer](#)
[HELP](#)
[Contact](#)
[What's New](#)
[RIO-DB](#)
[FAQ](#)
[LINK](#)


SDBS Information

SDBS No.: 97

Compound Name:
toluene

Molecular Formula: C₇H₈

Molecular Weight: 92.1

CAS Registry No.:
108-88-3

Derivatives:

display in a separate page

[SDBS Structures Web \(on trial since 2013-05-14\)](#)

Spectral Code:

Mass:

[¹³C NMR : in CDCl₃](#)

[¹³C NMR : in DMSO-d₆](#)

[¹³C NMR : in CD₂Cl₂ at 27C](#)

[¹³C NMR : in CD₂OD](#)

[¹³C NMR : in CDCl₂](#)

[¹³C NMR : in CD₂CN](#)

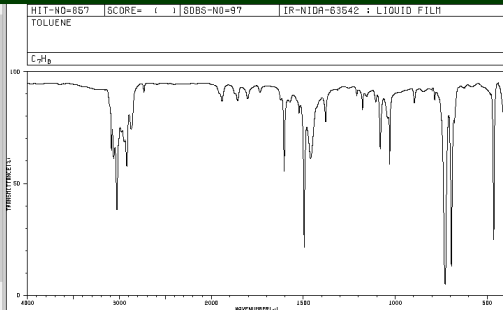
[¹H NMR : 90 MHz in CDCl₃](#)

[¹H NMR : parameter in CDCl₃](#)

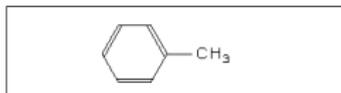
[¹H NMR : in CD₂Cl₂ at 27C](#)

[¹H NMR : in CD₃CN](#)

[¹H NMR : in CDCl₃](#)



| | | | | | | | |
|------|----|------|----|------|----|-----|----|
| 3087 | 82 | 1958 | 84 | 1210 | 85 | 895 | 81 |
| 3062 | 88 | 1803 | 84 | 1179 | 79 | 768 | 84 |
| 3020 | 37 | 1605 | 55 | 1156 | 86 | 729 | 4 |
| 2946 | 86 | 1624 | 78 | 1107 | 84 | 695 | 12 |
| 2920 | 55 | 1496 | 20 | 1082 | 82 | 678 | 74 |
| 2873 | 70 | 1461 | 58 | 1042 | 77 | 455 | 23 |
| 1942 | 84 | 1379 | 74 | 1030 | 57 | | |



► <http://webbook.nist.gov/chemistry/>

NIST Chemistry WebBook

NIST Standard Reference Database Number 69

[View: Search Options, Models and Tools, Special Data Collections, Documentation, Changes, Notes](#)

Show Credits

NIST reserves the right to charge for access to this database in the future.

Search Options [top](#)

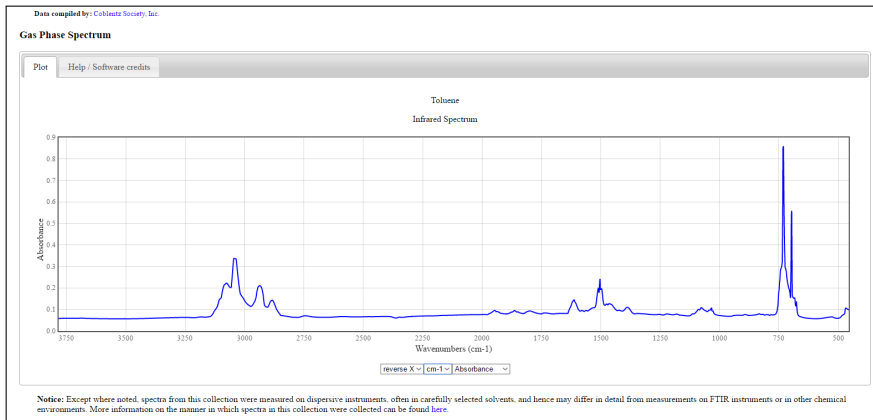
General Searches

- [Formula](#)
- [Name](#)
- [IUPAC identifier](#)
- [CAS registry number](#)
- [Reaction](#)
- [Author](#)
- [Structure](#)

Physical Property Based Searches

- [Ion energetics properties](#)
- [Vibrational and electronic energies](#)
- [Molecular weight](#)

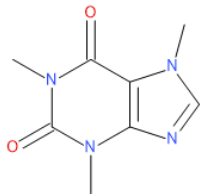
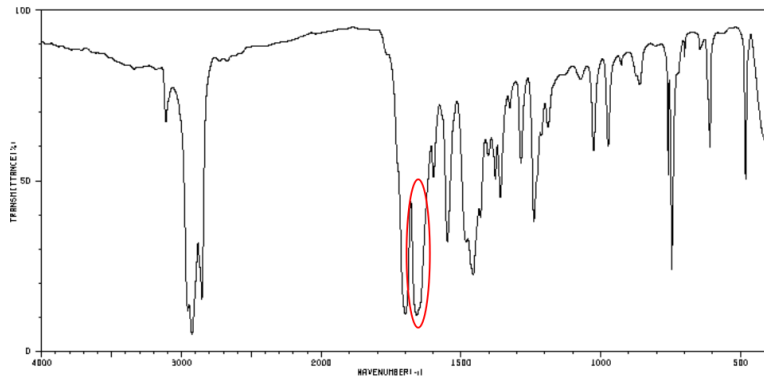
► <http://webbook.nist.gov/chemistry/>



- ▶ *Lambert-Beerův zákon* – $A_\lambda = \epsilon_\lambda lc$
 - ▶ A_λ - absorbance vzorku při vlnové délce λ
 - ▶ ϵ_λ - absorpční koeficient při vlnové délce λ . Je charakteristický pro každou sloučeninu.
 - ▶ l - délka kyvety
 - ▶ c - koncentrace vzorku
- ▶ Pro stanovení koncentrace se využívá *kalibrační křivka*.
- ▶ Pás zvolený pro analýzu musí splňovat několik požadavků:
 - ▶ Vysoký molární absorpční koeficient
 - ▶ Neměl by se překrývat s jinými pásy
 - ▶ Měl by být symetrický
 - ▶ Závislost absorbance na koncentraci by měla být lineární

Kvantitativní analýza

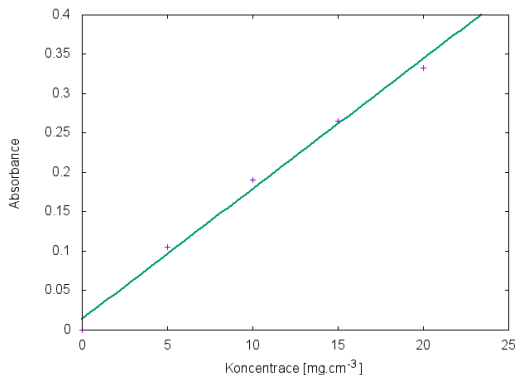
Stanovení koncentrace kofeinu v roztoku



Kvantitativní analýza

Stanovení koncentrace kofeinu v roztoku

| Koncentrace [$\text{mg}\cdot\text{cm}^{-3}$] | Absorbance při 1656 cm^{-1} |
|--|--------------------------------------|
| 0 | 0.000 |
| 5 | 0.105 |
| 10 | 0.190 |
| 15 | 0.265 |
| 20 | 0.333 |



1. STUART, Barbara. *Infrared spectroscopy: fundamentals and applications*. Hoboken, NJ: J. Wiley, 2004. ISBN 9780470854280.
2. COATES, John. Interpretation of Infrared Spectra, A Practical Approach. *Encyclopedia of Analytical Chemistry* [online]. Chichester, UK: John Wiley & Sons, 2006 [cit. 2017-05-18]. DOI: 10.1002/9780470027318.a5606. ISBN 0470027312. Dostupné z: <http://doi.wiley.com/10.1002/9780470027318.a5606>
3. Spectral Database for Organic Compounds – http://sdbs.riondb.aist.go.jp/sdbs/cgi-bin/cre_index.cgi
4. NIST Webbook Chemistry – <http://webbook.nist.gov/chemistry/>